

*А. В. Радиевский, И. И. Шагимуратов*

### GPS/ГЛОНАСС-ТОМОГРАФИИ ИОНОСФЕРЫ

*Исследована проблема восстановления высотного профиля ионосферы из GPS/ГЛОНАСС-наблюдений.*

*The article tackles the problem of the reconstruction of ionospheric electron density height structure by means of GPS/GLONASS systems.*

**Ключевые слова:** ионосфера, томография, ГЛОНАСС.

**Keywords:** ionosphere, tomography, GLONASS.

Хорошо известно, что ионосферная часть задержки GPS/ГЛОНАСС-сигнала от спутника до приемника в главном приближении прямо пропорциональна полному электронному содержанию  $NT$  [1–8]

$$NT(\beta) = \int_0^H N(\beta, h) dL(\beta, h). \quad (1)$$

Здесь  $N(\beta, h)$  концентрация электронов в ионосфере. Классическая задача томографии состоит в определении некоторого неизвестного распределения  $N(\beta, h)$  по известной функции  $NT(\beta)$ . В практических задачах эта функция чаще всего задается в виде таблицы  $NT(\beta_i)$ , в частности, для GPS общедоступными являются данные измерений с 30-секундным интервалом. Геометрия задачи представлена на рисунке 1.

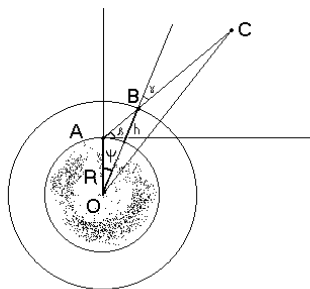


Рис. 1. Геометрия задачи: AC – линия визирования; O – центр Земли;  $\beta$  – угол места;  $\psi$  – центральный угол; R – радиус Земли; h – высота точки визирования; H – радиус орбиты спутника; угол  $\gamma = \pi/2 - \beta - \psi$

Для численного решения обратной задачи необходимо представить правую часть (1) в виде конечно-разностной аппроксимации с использованием квадратур по формулам прямоугольников или трапеций:

$$\begin{aligned}
NT(\beta) &= \int_0^{h_1} N(\beta, h) dL(\beta, h) + \int_{h_1}^{h_2} N(\beta, h) dL(\beta, h) + \dots + \int_{H-h_n}^H N(\beta, h) dL(\beta, h) = \\
&= N(\beta, h_0^*) \int_0^{h_1} dL(\beta, h) + N(\beta, h_1^*) \int_{h_1}^{h_2} dL(\beta, h) + \dots + N(\beta, h_{n-1}^*) \int_{H-h_n}^H dL(\beta, h) \cong \quad (2) \\
&\cong N(\beta, h_0) \int_0^{h_1} dL(\beta, h) + N(\beta, h_1) \int_{h_1}^{h_2} dL(\beta, h) + \dots + N(\beta, h_{n-1}) \int_{H-h_n}^H dL(\beta, h)
\end{aligned}$$

Переход в (2) от  $N(\beta, h_j^*)$  со звездочкой к  $N(\beta, h_j)$  предполагает, что в каждом  $j$ -слое электронная концентрация постоянна. Если слой достаточно тонкий, то вносимая этим приближением погрешность достаточно мала.

В результате задача томографии (1) сводится к решению системы линейных алгебраических уравнений относительно переменных  $N(\beta_i, h_j)$

$$AN = NT. \quad (3)$$

Коэффициенты матриц  $A$  и  $NT$  определяются следующими соотношениями

$$A_{ij} = \int_{h_{j-1}}^{h_j} dL(\beta_i, h), \quad NT_i = NT(\beta_i). \quad (4)$$

Достаточно простая на первый взгляд задача решения системы (3) при численном решении традиционными методами линейной алгебры оказывается практически неразрешимой. Главная трудность состоит в том, что так называемое число обусловленности матрицы по порядку величины  $\text{cond}(A) \sim 10^9 \div 10^{11}$  оказывается очень большим. Это свидетельствует о том, что рассматриваемая система линейных уравнений (3) весьма близка к линейно зависимой. Кроме того, большая величина числа обусловленности приводит к тому, что любая погрешность в определении правой части увеличивает в  $\text{cond}(A)$  раз ошибку самого решения.

В математике задачи такого рода возникают достаточно часто и носят название некорректно поставленных задач. Во многих случаях применение регуляризирующих алгоритмов по методу Тихонова или оптимальной фильтрации Калмана помогает найти решение достаточно близкое к точному. Успех решения такого класса задач зависит от наличия априорных сведений о характере искомого точного решения, таких как выпуклость, гладкость, дифференцируемость, знакоопределенность, ограниченность и др. Начальное приближение выбирается также из априорных соображений.

Здесь мы рассматриваем метод регуляризации Тихонова. В этом методе ставятся два условия: условие минимизации невязки  $\|AN - NT\|^2 = \min_N$  и условие минимизации нормы решения  $\|N\|^2 = \min_N$ .

Эта задача условной минимизации, и она решается методом неопределенных множителей Лагранжа, а именно:

$$\|AN - NT\|^2 + \alpha \|N\|^2 = \min_N, \quad (5)$$

где  $\alpha > 0$  – параметр регуляризации, играющий роль множителя Лагранжа. Из (5) вытекает уравнение Тихонова

$$(\alpha E + A^T A)N_\alpha = A^T NT, \quad (6)$$

где  $E$  – единичный оператор. Данное уравнение решается численно с использованием подходящего метода, например метода Гаусса, сингулярного разложения, разложения Холецкого, QR-разложения и др. В этой работе мы использовали QR-разложение. Выбор разумного значения параметра регуляризации  $\alpha$  в модельной задаче осуществляется методом подбора, а затем полученная величина используется для практических расчетов с реальными экспериментальными данными.

Для демонстрации применимости данных методов для решения обратных задач рассмотрим простейшую задачу по восстановлению высотного распределения электронной концентрации. Зависимость центрального угла  $\psi = \psi(\beta, h)$  имеет следующий вид

$$\psi(\beta, h) = \pi/2 - \beta - \arcsin(R \cos(\beta)/(R+h)); \quad (7)$$

соответственно, для угла  $\gamma = \arcsin(R \cos(\beta)/(R+h))$ . Легко определить длину луча от места наблюдения до точки визирования  $|AB| = L(\beta, h)$ :

$$L(\beta, h) = [R^2 + (R+h)^2 - 2(R+h)R \sin(\beta + \arcsin(R \cos(\beta)/(R+h)))]^{1/2}. \quad (8)$$

Для настоящей модельной задачи будем рассматривать сферически симметричное распределение электронной концентрации, полагая, что  $N(\beta, h) = N(h)$ . Тогда (1) приобретает вид

$$\begin{aligned} NT(\beta) &= \int_0^H N(\beta, h) dL(\beta, h) = \int_0^H N(h) \frac{\partial L}{\partial h} dh = \\ &= \int_0^H \frac{N(h) \{ R+h - R \cos(\psi(\beta, h)) + \frac{R^2 \cos(\beta) \sin(\psi(\beta, h))}{(R+h)(1 - (R^2 \cos(\beta)^2 / (R+h)^2)^{1/2}} \}}{[R^2 + (R+h)^2 - 2(R+h)R \sin(\beta + \arcsin(R \cos(\beta)/(R+h)))]^{1/2}} dh. \end{aligned} \quad (9)$$

Таким образом, имея какое-либо модельное (заданное в аналитическом виде) распределение электронной концентрации по формуле (9), мы можем рассчитать соответствующее (модельное) полное электронное содержание на пути от точки наблюдения до спутника для любых доступных углов наблюдения  $\beta$ . Эти данные будем считать исходными для решения обратной задачи (6).

Модельное распределение имеет вид функции Чепмена

$$N(h) = \sum_{i=1}^3 A_i \exp\{a_i [1 - (h - p_i)/h_i - \exp((h - p_i)/h_i)]\},$$

где все индексированные параметры подобраны для E, F<sub>1</sub> и F<sub>2</sub>-слоев.

	E-слой	F <sub>1</sub> -слой	F <sub>2</sub> -слой
A <sub>i</sub>	1,66	2,44	3,66
a <sub>i</sub>	0,5	0,5	1
p <sub>i</sub>	110	180	300
h <sub>i</sub>	10	34	70

Эта функция представлена на рисунке 2.

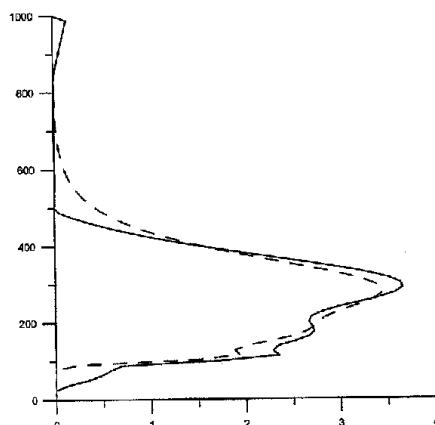


Рис. 2. Штриховая линия – модельная функция, сплошная – результат томографического восстановления

Матрица  $A$  имела размер  $100 \times 100$ , параметр регуляризации  $\alpha = 10^{-3}$ . В качестве начального приближения бралась величина равная 10 % от модельного распределения.

Сравнивая кривые на рисунке 2, видим, что результат восстановления качественно правильно отражает характер поведения высотного профиля.

#### Список литературы

1. Austen J.R., Franke S.J., Liu C.H. // *Radio Science*. 1988. 23. P. 299.
2. Raymond T.D., Austen J.R., Franke S.J. et al. // *Radio Science*. 1990. 25. P. 771.
3. Адрианов В.А., Араманд Н.А. и др. // *Исследование Земли из космоса*. 1996. №2. С. 10.
4. Brown A., Ganguly S. // *Radio Science*. 2001. 36. P. 745.
5. Hernandez-Pajares M., Jung J.M. et al. // *Geophysical Research Letters*. 2000. 27. P. 2009.
6. Hernandez-Pajares M., Jung J.M. et al. // *Ibid*. P. 2473.
7. Franke S.J., Yeh K.C. et al. // *Radio Science*. 2003. 38. P. 1011.
8. Andreeva E.S., Franke S.J. et al. // *Geophysical Research Letters*. 2000. 27. P. 2465.

#### Об авторах

А. В. Радиевский – канд. физ.-мат. наук, доц., РГУ им. И. Канта.  
И. И. Шагимуратов – канд. физ.-мат. наук, директор ЗО ИЗМИРАН.

#### Authors

A. Radiyevsky – Dr., IKSUR.  
I. Shagimuratov – Dr., head of the Western Division of the Institute of Terrestrial Magnetism Ionosphere and Radiowave.